

# Bio physiq des rayonnements ionisants

## Définitions:

radioélément: élmt chimiq radioactif (naturel ou prot par réact° nuc → artificiel)

noyau radioactif: noyau instable rayonnant

radioisotope: radioactivité et isotope

radioactivité: prop. de certains élmts chimiq d'émettre rayonnements ← noyau atomiq instable.

## Structure atome:

• atome = noyau central très dense ou nucléide chargé  $\oplus$  + nuage d' $e^-$  gravitant autour de lui.  
 $m(e) = 9,109 \times 10^{-31} \text{ kg}$ .

• les  $e^-$  se liés au noyau atomique par des F d'interaction qui leur assignent une trajectoire

• Sommerfeld en 1916 → atome à orbites elliptiques → ne peut pas être considéré comme bien déf pour chaque  $e^-$   
 • Bohr en 1913 → orbites circulaires qu'il en → modèle physiq: représentatif + facile des phénomènes.  
 adopté comme schéma simplifié

• Modèle à orbites circulaires:

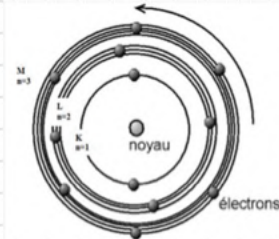
→  $e^-$  gravitent autour du noyau sur ces orbites = couches électroniques

→ chq orbite → nbre quantiq principl  $n(1, 2, 3)$

→ chq couche →  $K, L, M$

→ nbre d' $e^-$  ds  $+ n\pi r = 2n^2$

→  $e^-$  se placent sur  $k \rightarrow L \rightarrow M \rightarrow N \dots$



Etat atome stable parce que type de remplissage → fondamental

## Structure du noyau:

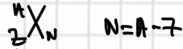
> Constitution: noyau: protons + neutrons

$$Z = m_p = 1,673 \times 10^{-27} \text{ kg} \approx 1836 m_e$$

$$m_n = 1,675 \times 10^{-27} \text{ kg} \approx m_p$$

$$q(+e) = 1,6 \times 10^{-19} \text{ C}$$

> Représentation:  
 id noyau et dét sa charge



> masse du noyau:

$$m(X) = m_n \text{ du noyau} + m \text{ de } Z e^- \rightarrow \text{la masse d'un atome est concentrée dans son noyau} \rightarrow m(e) \ll \text{masse atomique}$$

→ Unité de masse:

•  $M$  molaire = masse d'une mole

$$\cdot M \text{ d'un atome} = \text{nbre nucléons} \times m \text{ du nucléon} = A \times 1,67 \times 10^{-27} (\text{kg}) = A \times 1,67 \times 10^{-24} (\text{g})$$

•  $M$  molaire atomiq =  $M$ .

$$M = M \text{ d'un atome} \times NA = A \times 1,67 \times 10^{-24} \times 6,02 \times 10^{23} = A \times 1,005$$

masse molaire atomiq → Wte de nucléon ( $A$ ) → unité g/mol

→  $u_{\text{ma}}$ :  $1/12^{\text{e}}$  de m de  ${}^{12}\text{C}$

•  $N$  atomes  $C \rightarrow 12 \text{ g}$

• 1 atome  $C \rightarrow 12/N$

$$\rightarrow u_{\text{ma}} = 1/12 \times 12/N = 1/N = 1,66 \times 10^{-24} \text{ g} = 1,66 \times 10^{-27} \text{ kg}$$

## Relativité Einstein:

> relation d'équivalence: masse - énergie

• toute m possède E

$$E = mc^2$$

$$E = 1,66 \times 10^{-27} \times (3 \times 10^8)^2 = 1,5 \times 10^{-10} \text{ J}$$

$$1 \text{ eV} = 1,6 \times 10^{-19} \text{ J}$$

$$1 \text{ umma} = \frac{1,6 \times 10^{-19} / 1,66 \times 10^{-27}}{c^2} = 931 \times 10^6 \text{ eV/c}^2$$

$$= 931 \text{ MeV/c}^2$$

unité d'E en physiq nuc:  $eV = E$  acquise par  $e^-$  soumise à 1V

## → E de liaison des noyaux:

$M_N \rightarrow$  neutrons  $M_{p\bar{p}} \rightarrow$  protons  $M(A, Z) \rightarrow$  noyau

Principe:  $M(A, Z) = Z m_p + (A-Z) m_n$

Réalité:  $M(A, Z) < Z m_p + (A-Z) m_n$

( $\Leftrightarrow M(A, Z) = [Z m_p + (A-Z) m_n] - \Delta_M$ )

$\Delta M = [Z m_p + (A-Z) m_n] - M(A, Z)$  défaut de masse

↳ E qui faut fournir au noyau pour le séparer en ses constituants  
à  $E_L$  totale des nucléons dans le noyau

$E_L = \Delta M c^2$

Dans un noyau,  $E_L$  moyenne par A  $\Rightarrow E_m = \frac{E_L}{A}$

wire de masse

Noyer

stable  
 $M(A, Z) < m$  de ses  
constituants

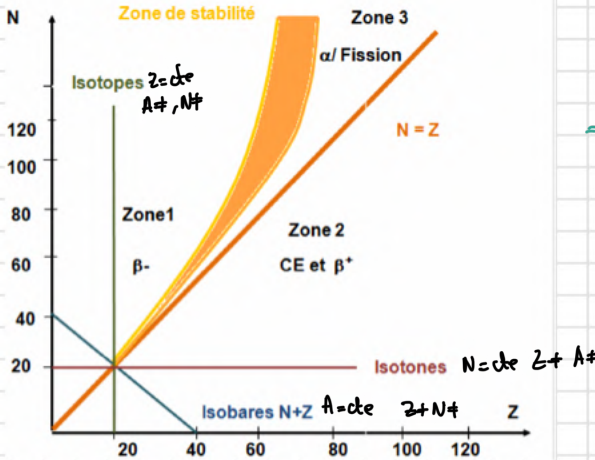
radioactif  
 $M(A, Z) > m$  de ses  
constituants

Il possède excès d'E

libéré par transformation  
noyau  $\rightarrow$  tout nouveau noyau stable

⇒ diagramme de stabilité / de Gegré

Isomères  $\rightarrow A, Z, N$  cte



## → Transformation radioactives:

Transformation isobarique:  $A=cte$

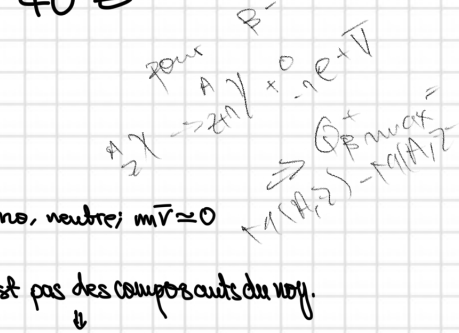
$$X(A, Z) \rightarrow X'(A', Z') \Rightarrow \beta^+, \beta^- \text{ et CE (excès N ou Z)}$$

• noyau père et fille sur la ligne isobare:  $A$ ,  $Z \neq$  d'une unité

• émission  $\beta^-$ : noyau en Zone 1 = excès neutrons  $\rightarrow$  anti-neutrino, neutre;  $m\nu = 0$

• stabilité: neutron  $\rightarrow$  proton:  ${}^1n \rightarrow {}^1p + {}^0e + \bar{\nu}$

• équation bilan:  ${}^A_Z X \rightarrow {}^{A-1}_{Z+1} Y + {}^0e + \bar{\nu}$  rayonnements  $\beta^-$  → éjecté car  $e$  n'est pas des composants du noy.



• Condition Entrq:

$$E_{\max} \text{ au cours de la réaction: } Q_{\beta^-} = E_{\beta^- \max} = E_i - E_f$$

$$E_{\beta^- \max} = \left[ M(A, Z) - (M(A, Z+1) + m_e + m_\nu) \right] c^2 \Rightarrow Q_{\beta^-} = E_{\beta^- \max} = [M(A, Z) - M(A, Z+1)] c^2$$

$$M(A, Z) = Z m_p \quad M(A, Z+1) = (Z+1) m_p$$

• émission  $\beta^-$  spontanément possible, il suffit que:  $Q_{\beta^-} > 0 \Leftrightarrow \Delta M c^2 > 0 \Leftrightarrow M(A, Z) - M(A, Z+1) > 0$

$\hookrightarrow$  E libérée,

se partage au hasard entre  $e$  et  $\bar{\nu}$

$$\bullet$$
 condition Entrq:  $Q_{\beta^+} = E_{\beta^+ \max} = E_i - E_f$   

$$Q_{\beta^+} = \left[ M(A, Z) - (M(A, Z-1) + m_e + m_\nu) \right] c^2$$

$$M(A, Z-1) = (Z-1) m_p$$

$$Q_{\beta^+} = \Delta M c^2 - 2 m_e c^2$$

→ émission possible si:  $E_{\beta^+ \max} > 0 \Leftrightarrow \Delta M c^2 > 1,022 MeV$

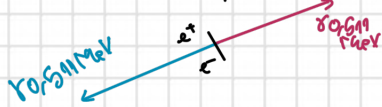
$$\rightarrow$$
 notion E seuil :  $E_{\beta^+ \max} = \Delta M c^2 - 1,022 MeV$

se partage au hasard entre  $e$  et  $\bar{\nu}$

$$M(A, Z) - M(A, Z-1) = 2 m_p$$

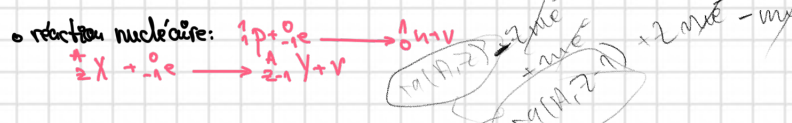
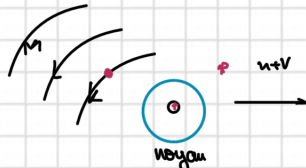
## → effet 2<sup>e</sup> aire:

- posit<sup>o</sup> émis et se propage de la matière perdant son En
- Au repos: et rencontre  $\bar{e}$   $\Rightarrow$  Annihilation avec émission de 2 photons<sup>o</sup> de m<sup>o</sup> E  $h\nu = 0,511 \text{ MeV}$  ds 2 sens opposés à 180°



- Capture électronique (CE): Noyau de zone d'excès de protons

- CE: capturer d'un  $e^-$  des couches internes de l'atome par le noyau, au sein duquel se trouve un p $\rightarrow$  neutron



Bilan énergétique CE: émission CE possible si:  $[M(A, z) + m_e - (M(A, z-1) + m_\nu)] c^2 > E_p$

on obtient  $M(A, z) = M(A, z-1) + m_e - M(A, z-1) - (z-1)m_\nu$

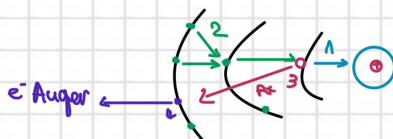
$\Delta M c^2 > E_p \quad E_{CE} = [M(A, z) - M(A, z-1)] c^2 - E_p \Rightarrow$  toute l'E est emporté par le neutrino

→ Phénomènes secondaires à la CE:

- \* Emission RX: après CE:
  - cortège électronique comporte un "trou": vacance
  - atome<sup>o</sup>: excité
  - réarrangement électronique qui aboutit à:
    - émission RX caractéristique du voisinage
    - RX émis est photon qui a une E:

$E_{RX} = E_L - E_F \quad (e^- \text{ transite de } L \rightarrow k)$

- \* Electron Auger:
  - l'E de transit<sup>o</sup> X interact avec un e<sup>-</sup> périph qui sera libéré: C'est l'e Auger

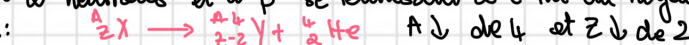


→ Transformations par partition: zone 3 : • excès neutrons et p  
• répulsions + + +

• évolution  $\rightarrow$  stabilité: émission<sup>o</sup> ou fission spontanée

- émission<sup>o</sup>: noyau  $z > 33$  essayant d'évoluer  $\rightarrow$  zone de stabilité et en particulier vers zone  $z=33$

instables: • 2 neutrons et 2 p se réunissent à l'int du noyau  $\rightarrow$  noyau d'te émis spontanément par noyaux lourds



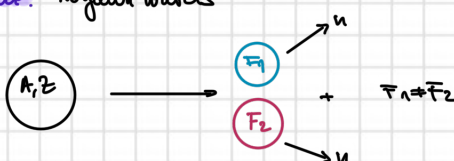
- Conditions E:

$\Delta M = M(A, z) - (M(A-4, z-2) + M(\text{He})) > 0 \quad , E_{\alpha} = [M(A, z) - (M(A-4, z-2) + M(\text{He}))] c^2$

particules émises et monoénergétiques: ont m<sup>o</sup> E

- fission spontanée: noyaux lourds

- mécanisme:



→ Désactivation électromagnétique des noyaux Apès  $\alpha$ ,  $\beta^-$ ,  $\beta^+$  ou CE

- noyau reste excité  $\rightarrow$  désactivation par: • émission  $\gamma$ , conversion interne (CI), émission d'une paire ( $e^+, e^-$ )

• émission  $\gamma$ : sous mode<sup>o</sup> de la désactivation

CI:  $E_{e-CI} = E^* - E_F$

Instantané

Isomérique

$10^{-6} \text{ s} \rightarrow 1 \text{ s}$

$E_1^*$

$E_F \rightarrow E_F \rightarrow E_\gamma = h\nu$

$\nu = \frac{c}{\lambda}$

$E_F = \frac{hc}{\lambda} = E_1^* - E_F$

phénomène 2<sup>e</sup> aire à la CI

RX

e<sup>-</sup> Auger

E\*: You CI? - J'ai E ??

C1 si noyau lourd ou faiblement excité

Noyau<sup>o</sup>:  $E^* > 1,022 \text{ MeV}$

désactivation  $(e^+, e^-)$

$E_{e^+} + E_{e^-} = E^* - 1,022$

Phénomène 2<sup>e</sup> aire:  $e^+$ : annihilation

$E^* = 0,511 \text{ MeV}$

robin mev

$e^-$ : excitation; ionisation des atomes de la matière

# Interactions des rayonnements avec la matière

→ interactions = transfert d'E

→ un rayonnement : émission d'E à partir d'une source

→ A1. particules chargées ou non responsables d'ionisations

## • Rayonnements chargés:

→ particules chargées légères: et

→ PC lourdes: protons; deutons; d<sup>++</sup>; t<sup>++</sup>; ions lourds  
fragments lourds de fission, ions lourds

## • Rayonnements neutres:

• neutrons n

• neutrinos  $\nu$

• pions  $\pi^+$  ...

## • Rayonnements électromagnétiques:

R<sub>X</sub> et R<sub>Y</sub>

→ Un rayonnement:

• particulier      • ou électromagnétique (E.M)

→ ionisant s'il est susceptible d'arracher des e<sup>-</sup> à la matière.

→ conducteurs: - E<sub>C</sub> (particules) } > E<sub>C</sub> des e<sup>-</sup>  
Là l'E des      - hV (protons)      }  
rayonnement

→ en général, cette E  $\approx$  10 eV

→ Un rayonnement ionisant peut être:

### - Directement ionisant:

particules chargées légères et lourdes:

$\beta^+$ ,  $\beta^-$ ,  $\alpha$ , p, d, ions lourds

### - Indirectement ionisant:

• rayonnement EM R<sub>X</sub>, R<sub>Y</sub>

• UV énergétique

## → rayonnements non ionisants:

• UV proches du visible

• IR et ondes hertziennes → radioélectricité

↳ infrarouge

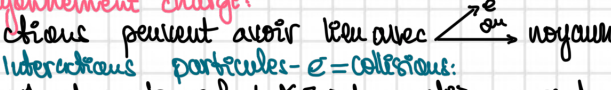
• Fonction de la nature de la matière traversée.

→ interaction du rayonnement avec la matière:

• transfert d'E du rayonnement incident au milieu traversé; ceci dépend de: nature de ce rayonnement

→ rayonnement chargé:

• interactions peuvent avoir lieu avec noyau



→ interactions particules-e = collision:

elles entraînent un transfert d'E à la matière responsable des effets pratiques sur le milieu.

## ↳ Interactions des PC lourdes avec la matière: PCL

→ Ce et les p, d,  $\alpha$ , ions lourds. → Origine: → désintégrations radioactives → réactions nucléaires

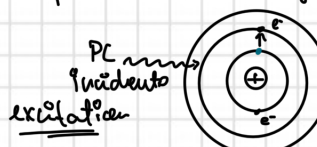
→ Interaction à caractère obligatoire avec: e<sup>-</sup> + + + → noyau des atomes

### • Interaction PCL-e = collision:

L'E cédée  $\Delta E$  par particule incidente est cédée à un e<sup>-</sup> d'E<sub>I</sub>, trois cas peuvent se rencontrer:  $\Delta E > E_I$ ;  $\Delta E < E_I$ ;  $\Delta E \approx E_I$

#### • $\Delta E > E_I$ : ionisation:

e<sup>-</sup> transférée à e<sup>-</sup> est insuffisante pour l'expulser mais peut porter l'e<sup>-</sup> à un niv énergétique sup (changement d'orbite): il ya excitation de l'atome il peut retour à l'état fondamental par émission de rayons de fluo.



Ionisation = méca fondamental pour effet de des rayonnements

→ Lors d'interaction PCL avec e<sup>-</sup>, trajectoire reste rectiligne ou peu modifiée du fait de la supériorité de la masse des PCL / à celle des e<sup>-</sup>

## • Quantification de l'E transférée: notion de TEL et DLI

### → Transfert d'E linéaire ou TEL:

. TEL est la quantité d'E transférée au milieu cible par la particule incidente par unité de longueur de trajectoire.

$$\cdot \text{TEL} = \frac{dE}{dx} \quad - \text{keV/mm: eau}$$

- MeV/cm: air

Pour des particules de  $\alpha$  dans l'eau la lumière a:

$$\text{TEL} = \frac{kq_2 n Z / v^2}{\text{cte}} \quad \begin{matrix} \rightarrow \text{numéro atomique de la} \\ \text{cible} \end{matrix}$$

$\downarrow$

charge de P1

$\downarrow$

nb d'atomes  
de la cible par  
un de volume

$\downarrow$

vitesse de P1

## Applications en radiothérapie:

. La variation de la DLI le long de la trajectoire d'une PCL est mis à profit en radiothérapie

. En sélectionnant l'EC des P ( $\alpha, p, \text{noyaux lourds...}$ ) mis en mouvement par un accélérateur

. On peut ajuster la profondeur du pic de Bragg à celle d'une tumeur et ainsi mieux protéger les tissus sains environnants.

### ► Interaction des PCL avec les noyaux:

Interaction des PCL avec les noyaux atomiques d'une importance 2ndaire

### ↳ Interaction des PCL légères avec la matière: PCL

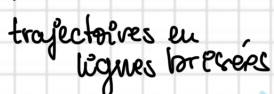
• Origine: émission  $\beta$ ,  $\beta^+$ ,  $\text{Cl}$ , accélérateurs P, mise en mouvement 2ndaire d' $e^-$  par RX-RY; désexcitation électronique par effet Auger

• Interactions des PCL se font avec:  $e^- + ++$  Noyau  $+ +$

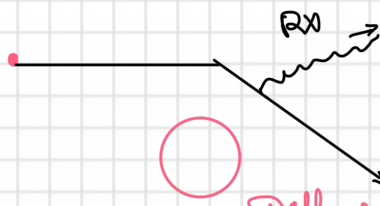
### ✓ Interaction des PCL avec les $e^-$ atomiques: collision

$e^-$ , collision  $\rightarrow e^-$  milieu: exécution ionisation

Deivation par répulsion coulombienne:  
diffusion avec perte d'E importante  $e^-$

$e^-$  

### ✓ Interaction des PCL avec les noyaux atomiques: freinage



Diffusion inélastique par champ coulombien noyau: Rayonnement freinage

## • Densité linéique d'ionisation (DLI) ou ionisation spécifique

. DLI : nombre de paires d'ions créées par P1 par unité de longueur.

Unités = (paire d'ions)  $\mu\text{m}^{-1}$

$$\text{On a } \text{TEL} = W \cdot \text{DLI}$$

$E$  nécessaire pour provoquer une ionisation (en bte:  $W=33 \text{ eV}$ )

. Pour des particules  $\neq$ , d'Ec =, le TEL est + élevé pour une particule donnée que:

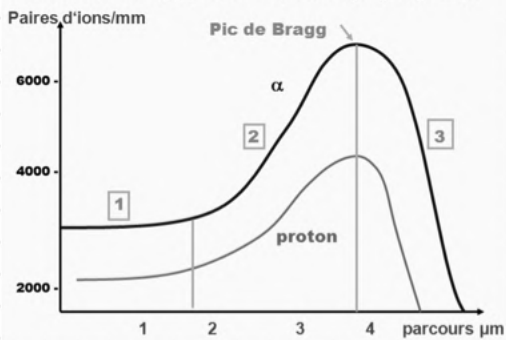
• sa charge est + grande      • sa v<sub>t</sub> + faible      • sa masse +

• Variation DLI le long de la trajectoire d'une P: courbe de Bragg

• fin du parcours d'une PCL: marquée par 777 DLI due au ralentissement de la P (2)

. Puis uno  $\downarrow$  (3) lorsque, ayant capturé des  $e^-$  du milieu, elle s'arrête et cesse d'E ionisante.

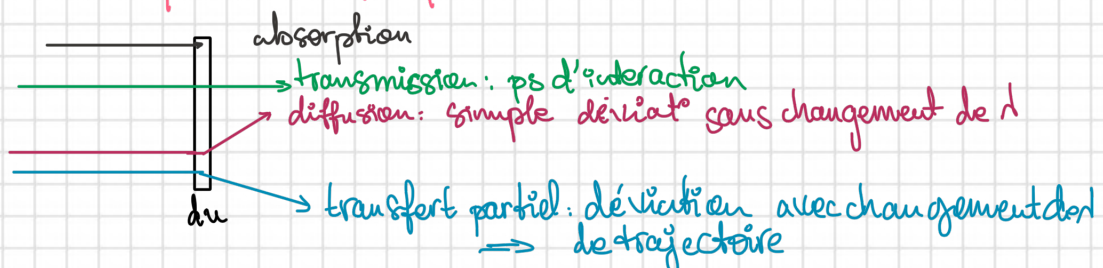
Courbe de Bragg pour  $\alpha = 5.3 \text{ MeV}$  (air) et pour p



Variati<sup>on</sup> DLI lors de la trajectoire de PCL

# Interactions des photons avec la matière

- photons en R. EM : ionisante d'E > 10 eV : UV, RX et RY
- photons X ou Y des rayonnements indirectement ionisants.
- photons X : origine électronique émis  $\xrightarrow{\text{par freinage d'e- accélérées}}$  lors du retour à l'état fondamental d'un atome
- photons Y : origine nucléaire : → troussit nucléaire → annihilation des P → des accélérateurs de P
- RX et RT ont le même comportement vis à vis de la matière
- photons ≠ des PC : - m≈0 - charge≈0 → comportement vis à vis de la matière ≠ /PC  
L'interaction photons-matière est de caractère aléatoire.
- RY ont E + 1 que RX → photons X ou Y caractérisés par : • fréquence  $\nu$  . longueur d'onde  $\lambda$ . En:  
 $E_\text{h} = h\nu$   
et  $\nu = \frac{c}{\lambda}$
- Dénouer possible d'un photon X ou Y après traversée d'une e de d'un matériau:



## → Loi d'atténuation d'un faisceau de photons X ou Y:

→ L'E incidente  $E_i$  d'un photon, après traversée d'une e de matériau, se répartit entre :

$$E_{\text{transmise}} + E_{\text{diffusée}} + E_{\text{transférée}} \quad \Sigma = E_i$$

→ étude de probabilité d'interaction des photons X et Y avec la matière conduit à la déf des lois d'atténuation d'un faisceau de photons.

nombre photons  $\rightarrow N(u) = N_0 e^{-\mu u}$  → e de la matière en cm  
 sortant de u et n'ayant pas interactué avec la matière  $\downarrow$  proba d'interaction par unité de longueur  $\downarrow$   
 nombre de photons i sur une surface S de matière d'e u

→ si l'on tient compte de l'intensité, des 2 faisceaux de photons  $I_0$  et  $I(x)$  l'éq s'écrit:

$$\text{faisceau sortant} \quad I(x) = I_0 e^{-\mu u} \rightarrow e \text{ en cm}^{-1}$$

→ si l'on considère l'e u qui atténue de  $1/2$  d'intensité du faisceau incident  $I_0$ , appelée encore couche de  $1/2$ -atténuation et notée CDA ( $x = CDA$ ), on aura:  $I_{CDA} = \frac{I_0}{2} = I_0 e^{-\nu(CDA)}$

Soit  $\ln 2 = \nu \cdot CDA \Rightarrow CDA = \frac{\ln 2}{\nu} \quad (\ln 2 = 0,69)$   
 ex:  $CDA \approx 9,8 \text{ mm}$  pour un faisceau de  $\nu = 1,14 \text{ MeV}$

## → + modes d'interaction des photons X et Y avec la matière:

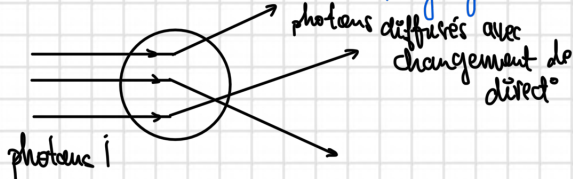
$e^- \leftarrow$  photons X et Y  $\longrightarrow$  noyau

### Mécanismes d'interaction:

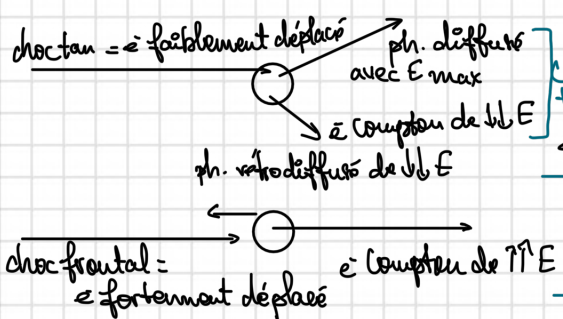
$e^-$	noyer
diffusion simple	matérialisation (paire)
effet Compton	réactions nucléaires
effet photoélectrique	

## = Interaction avec les $e^-$ :

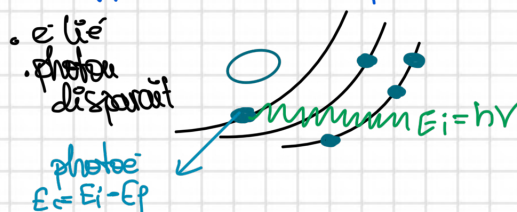
### - Diffusion simple (phénomène Thomson-Rayleigh)



Le photon  $i$  est absorbé par l'atome, puis réémis sans modification d' $E$ , mais selon une direction  $\neq$  de la direct  $i$



### = Effet photoélectrique:



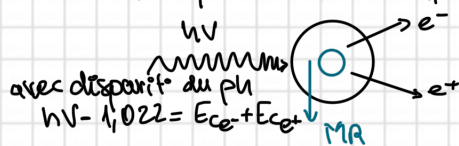
$E_i$  servira à entraîner de sa couche le  $e^-$  d' $E_p$ .  
à communiquer à cet  $e^-$  une  $E_c$ .

Conditions:  $E_i > E_p$  - phénomène a lieu pour toute  $L^{++}; L^{+}; M^+$

### > Interaction avec les noyaux:

#### - Materialisation: prod<sup>c</sup> de paire

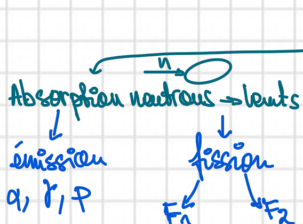
Mécanisme possible si  $h\nu > 1,022 \text{ MeV}$



Références:  $e^-$  perd son  $E_c$  par excitation et ionisation.  
 $e^+$ : fin parcours s'annule avec  $e^-$  libre matière  
émission de ph.  $T$  de  $0,5 \text{ MeV}$  chacun

Probabilité atténuation PP:  $\rho_P \propto Z^2 (\frac{1}{E} \text{ avec } Z)$   
 $\rho_P \propto$  logarithmique avec  $h\nu$

#### - Interactions des neutrons avec la matière:



### = Effet Compton

$$E_C \text{ é Comptón} = \frac{1}{2} m v^2$$

interaction: photon-e libre ou peu lié.

Project<sup>c</sup> égal:

$$\text{angle: } 0^\circ < \theta < 90^\circ. E_C = \frac{1}{2} m V^2$$

#### - Diffusion Ph. i selon:

$$\text{direct d'A: } 0^\circ < \theta < 180^\circ. E = h\nu'$$

Probabilité d'interact<sup>c</sup>:

choc tangentiel:  $\begin{cases} \text{Si } E = h\nu > 0, \text{ Si } Z \text{ élevé} \\ \text{Si élmt léger} \end{cases}$

$$\rho_C = k Z / h\nu$$

coeff d'atténuat<sup>c</sup> par Comptón

Phénomène Auger: - réorganisation cortège électromagnétique avec émission de: - AX de fluo. - Auger

ionisations et excitations des atomes de matière

Probabilité d'interaction par effet photoélectrique:

$\rho_{PE}$  dépend de  $E_i$  du ph.  $i$  et de  $Z$  cible:

$$> \rho_{PE} \propto Z^2 \text{ avec } Z > \rho_{PE} \text{ avec } E \Rightarrow \rho_{PE} = \frac{k Z^2}{E^3}$$

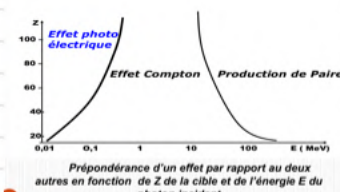
Effet prédominant jusqu'à:

$$E = 0,5 \text{ MeV} \quad Z = 111 \text{ (uranium lourd)}$$

### = Réactions nucléaires:

Il peut y avoir absorption du ph  $X$  par noyau avec transfert de celui-ci:  $(\gamma, n) Y$  réaction

ne concerne que ph de  $T \gg 10^6 \text{ eV}$



$n \approx m_p$   
 $n$  sans charge }  $\Rightarrow$  neutrons  $\leftrightarrow$  noyau



Diffusion des neutrons: rapides  
perdu d' $E$  par  $n$

Les neutrons et indirectement ionisants

# La radioprotection:

→ La radioprotection : discipline qui coordonne les recherches, les travaux et les techniques concernant les moyens de prévenir et éventuellement de réparer les effets néfastes des RI.

→ Définitions: → Σ mesures prises pour protéger: travailleurs, pop., écosyst. des dangers des RI tout en permettant leur utilisation. → Compétence des radio biologistes, radiobiologues, MP qualifiés, radiopathologistes, hygiénistes

## Grandeurs et unités utilisées en radioprotection:

### → Dose absorbée: Da

. Da en un pt P est le rapport de l'énergie d'Ea absorbée ds un élut de volume centré sur le P à la masse dm de l'élut de volume  $Da = dEa / dm$

. L'unité légale de la Da est le gray (Gy); Da ds une m=1kg à laquelle les RI communiquent en moyenne de façon uniforme une E=1J.  $\Rightarrow 1Gy = 1J/kg$

Svt on utilise encore une U ancienne, le rad, tq: 1Gy = 100 rads.

→ Gy est une U de dose qui correspond à une irradiation relativement faible, rarement rencontrée en milieu pris de la réalité de radioprotection du personnel (MS fréq en radiothérapie anticancéreuse)

→ On utilise donc svt les sc-multiples de Gy: centigray cGy=rad ou milligray mGy

. Da variables selon les applications considérées: >0,2mGy: radiothérapie >1mGy: chimiothérapie >2Gy: radiothérapie

Le débit de dose = dérivé Da par rapport au temps (Gy/s) :  $D = \frac{dD}{dt}$

. Le Da: grandeur dosimétrique se mesure et est valable t la nature de: - rayonnement - matière absorbante

Mais cette grandeur est insuffisante pour apprécier complètement les effets bio protés (morts cell., mutation) car à Da égale, les effets varient en fait d'un certain nombre de facteurs:

> nature des R. > sensibilité du tissus absorbant ces R. > débit de dose et son fractionnement > distribution spatiale de la Da ds tissu considéré

### → Dose équivalente (H) en Sievert (Sv)

. À Da égale, les effets bio varient selon nature du RI. → Da par un type (T) pondérée par type et qualité du RI

. W<sub>A</sub>: • Fe et X .... 1  
• e<sup>-</sup> et p .... 1  
• α ..... 20       $H_{T,R} = W_A D_{T,R}$       fact. de pondérat° radio  
• protons ..... 5  
• neutrons ..... 5-20      fact. de type et E du RI

### → Dose efficace (E) en Sv:

Somme des H reçus au niveau de tous les organes soit exposés, chacune pondérée par un facteur tenant compte la radiosensibilité propre du T ou de l'organe considéré.

E = \sum W\_T H (Sv)

W<sub>T</sub>: facteurs pondération tissulaire

Organes	Facteur pondération
Thyroïde	0.05
Poumons	0.12
Seins	0.05
Oesophage	0.05
Estomac	0.12
Foie	0.05
Colon	0.05
Ventre	0.20
Gonades	0.01
Peau	0.12
Moelle osseuse rouge	0.01
Surfaces osseuses	
Reste de l'organisme	0.05

Ex: On irradie 2 pop de 4 identiques avec neutrons et avec pX et on leur délivre une dose de 1Gy.

. le facteur de pondérat° radio des neutrons est de 20, celui de pX=1.  
→ calculez H pour chaque pop 4 fois

Réponse: On a  $H = W_A D_{T,R}$  → pop1: neutrons  $H_1 = 20 \times 1 = 20 \text{ Sv}$  → pop2: pX  $H_2 = 1 \times 1 = 1 \text{ Sv}$

### → Sources d'irradiation:

- Irradiation non professionnelle:  
naturelle - artificielle - médicale
- Irradiation professionnelle.

→ Irradiation naturelle: source la + importante, 3 origines: . cosmique, tellurique, naturellement présents de l'organisme  
- R. cosmique: i variable avec altitude: 0,2 mSv/an au niveau de la mer; 0,4 mSv/an à 1500m; 2,4 mSv/an en avion de ligne  
- radioisotopes contenus ds le sol: source d'i d' ~ 0,3 - 0,5 mSv/an due à la présence de radioéléments naturels:  $^{238}\text{U}$ ,  $^{232}\text{Th}$ ,  $^{40}\text{K}$

> radioéléments naturels de l'organisme:  $^{40}\text{K}$  entraînent une dose interne d'~0,25 mSv/au

Le corps humain contient 2,2g de  $\text{K}/\text{kg}$  et chaque g de  $\text{K}$  naturel contient 37 Bq de  $\text{K}^{40}$  ce qui représente près de 8000 Bq pour une personne de 70kg

→ Irradiation artificielle: s'élève à ~0,10 mSv/au → provient de l'utilisation industrielle des FAI et des retombées des essais nucléaires à l'air libre.

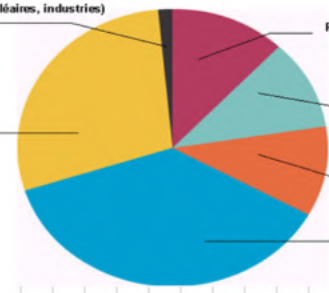
→ Irradiation médicale: en moyenne de 1 mSv/au → la personne irradiée est à priori le bénéficiaire des avantages du point de vue thérapeutique et diagnostique attendus de l'i → les examens médicaux → i qui est toutefois équivalente efficace

Notre monde est radioactif.... Nous sommes soumis quotidiennement à une exposition naturelle.

#### Exposition artificielle

Autres (essais nucléaires, industries) 15%

Expositions médicales 26,5%



#### Exposition naturelle

Rayonnements terrestres (sol) 12%

Rayonnements cosmiques 10,5%

Eaux et aliments 10,5%

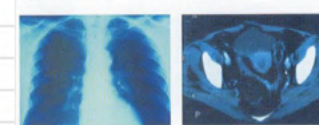
Radon 37%

70 %

#### Radiodiagnostic (radioexposition externe)

Radiographie pulmonaire :  
 $H_{Moyenne} = 0,60 \text{ mSv}$   
 $E = 0,30 \text{ mSv}$

Tomodensitométrie pelvienne :  
 $H_{Moyenne} = 15 \text{ mSv}$   
 $E = 6 \text{ mSv}$



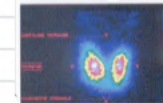
Radiographies dentaires (20 clichés) :  
 $H_{Moyenne} = 4,82 \text{ mSv}$   
 $H_{Maximum} = 0,45 \text{ mSv}$   
 $E = 0,24 \text{ mSv}$



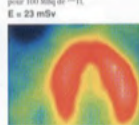
#### Médecine nucléaire (radioexposition interne)

Radiographie thyroïdienne :  
pour 20 Mibq de  $^{99m}\text{Tc}$ ,  
 $E = 0,24 \text{ mSv}$

Scintigraphie osseuse :  
pour 500 Mibq de  $^{99m}\text{Tc}$ ,  
 $E = 4 \text{ mSv}$



Scintigraphie myocardique :  
pour 100 Mibq de  $^{201}\text{Tl}$ ,  
 $E = 23 \text{ mSv}$



• Irradiation professionnelle: professions de santé → personnes qui utilisent les nombreuses applications industrielles des FAI

Qq repères : eau de pluie: 0,5 Bq /L → eau de mer: 15 Bq /L → Vol Paris - NY: 0,05 mSv → Séjour 15j montagne: 0,1 mSv

Les personnes qui utilisent les nombreuses applications industrielles

• Terre: 900 Bq /L • Corps humain:  $\text{K}^{40}$ : 4500 Bq  
 $\text{C}^{14}$ : 3900 Bq

#### → Types de radioexpo humaine.

• expo. externe: à distance de la source

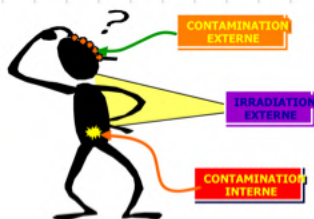
→ Globale: longue durée → Partielle: toucher organes ou T

→ au contact de la source → Contamination externe

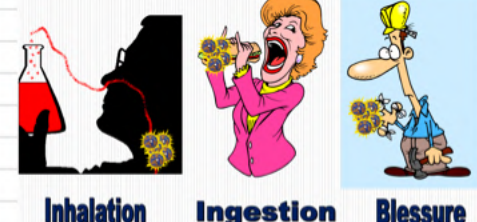
• expo. interne: incorporation des radionucléides

↳ Contamination interne

#### → Modalités d'i d'un corps humain:



#### → Modes de pénétration de la contamination interne:



Inhalation

Ingestion

Blessure

#### → Principes fondamentaux de la radioprotection.

• Justification de l'activité entraînant la radioexpo. Éviter toute expo. inutile

• Optimisation des moyens de radioprotection: maintenir l'expo au niveau le + bas possible pour personnel et le public

• Limitation des expos individ.

→ Limites des doses: classification des personnes expo.

→ Travailleurs de catégorie A: susceptibles d'une dose  $\geq 3/10$  limites annuelles d'expo: 20 mSv/au: i globale.

→ Travailleurs de catégorie B: " " " < à  $3/10^{\text{e}}$  nrs > limite réglementaire de E du public (1 mSv/au)

→ autres travailleurs: considérés comme le public (limite de E = 1 mSv/au)

→ Zonage en milieu de travail: Protect/ aux sources.

Zone interdite

Zone contrôlée: travailleur susceptible de recevoir dose  $\geq 3/10^{\text{e}}$  d'une limite réglementaire



Zone surveillée: travailleur susceptible de recevoir dose  $\geq 1/10^{\text{e}}$  d'une limite réglementaire.

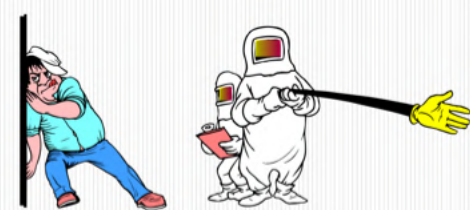
## > Règles de radioprotection:

Comment se protéger de contamination interne?



**Boire Manger Fumer**

Comment se protéger de l'i?



**TEMPS**

**ECRAN**

**DISTANCE**

temps d'expo

Notion D

source en échappant  $D = \text{d}D / \text{d}t$

$$D = \frac{\text{d}D}{\text{d}t}$$

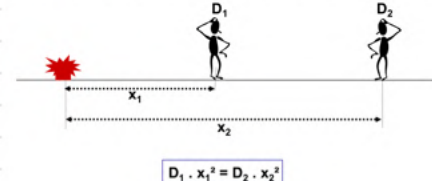
Temps court  $\rightarrow$  dose + faible

Dose est proportionnelle au temps

pour écrans



pour distance



"Loi en  $1/d^2$ "

$$\text{so } u_n = 1 \text{ m} \\ D_a = \frac{D_1 u_1^2}{u_2^2} = \frac{D_1}{u_2^2}$$

$$\text{ex: } 1. D_1 = 0,2 \text{ Sv/h} \quad x_1 = 4 \text{ m} \quad x_2 = 8 \text{ m}$$

$$D_1 x_1^2 = D_2 x_2^2 \Rightarrow D_2 = \frac{D_1 x_1^2}{x_2^2} = \frac{0,2 \cdot 4^2}{8^2} \\ = \frac{0,2}{2^2} = \frac{0,2}{4} = \frac{1}{2} \cdot 10^{-1} \\ = 0,5 \cdot 10^{-1} = 5 \cdot 10^{-2} \text{ Sv/h}$$

$$2. D_1 = 0,1 \text{ Sv/h} \quad x_1 = 10 \text{ m} \quad x_2 = 100 \text{ m}$$

$$D_2 = \frac{0,1 \times 10^2}{100^2} = \frac{10^{-1} \times 10^2}{(10^2)^2} = \frac{10}{10^4} = \frac{1}{10^3} = 10^{-3} \text{ Sv/h}$$

$$3. D_1 = 10^3 \text{ Sv/h} \quad D_2 = 2,5 \mu \text{Sv/h} \\ x_1 = 2 \text{ m} \quad x_2 = ?$$

$$D_1 x_1^2 = D_2 x_2^2 \Rightarrow x_2^2 = \frac{D_1 x_1^2}{D_2} \\ \Rightarrow x_2^2 = \frac{10^3 \times 2^2}{2,5 \times 10^{-6}} = \frac{2^2 \times 10^3}{2,5} \\ = \frac{4}{2,5} \times 10^4 \\ \Rightarrow x_2 = 40 \text{ m} \quad = 1600 \text{ m}^2$$

# Radiobiologie:

- Effets Bio des RI → chaîne de réactions déclenchées par interactions avec atomes constitutifs de la matière vivante.
- Ils dépendent de + facteurs liés:
  - > dose et au débit de dose
  - > caractéristiq du rayonnement
  - > type & au tissu ou au sujet

Interaction des RI avec les organismes vivants se fait selon une succession d'étapes

Interactions physiq → Réactions physico-chimiques → lésions moléculaires

Effets patho ← lésions dissolaires ← Dommages cellulaires ←

## I. Interactions physiques:

- > particules ionisantes:  $\alpha$ ;  $\beta$ ; ou celles mises en mouv pour Rx, Rx et neutrons.
- > interagissent des temps très court:  $10^{-16}$  -  $10^{-17}$  s avec  $e^-$  et noyaux des atomes du milieu: Ionisat°, Excitat°, Transfert thermique
- > RI à TLE faible: Rx et Rx: faiblement ionisants
- > RI à TLE élevé:  $\alpha$ ;  $\beta$ ;  $\gamma$ ; fortement ionisants

## II. Interactions physicochimiques:

> interactions radiochimiques en  $10^{-12}$  s

Atome normal

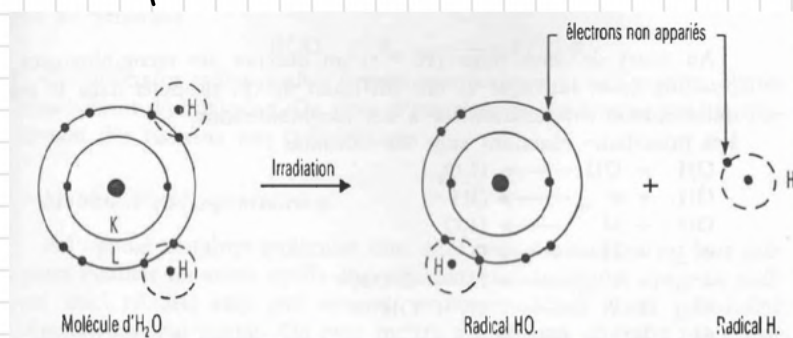
> formation radicaux libres (RL)

- RL: • haute réactivité chimiq +++
- état très instable
- capturer un  $e^-$  pour réapparier leur(s)  $e^-$  solitaires(s)

→ interact° RI avec  $e^-$  des mol d'eau  
↳ riche en eau des organismes vivants

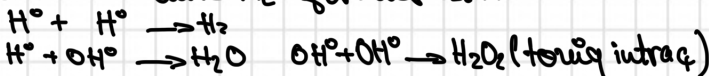
### a. Radiolyse de l'eau: sa influence des RI

la mol d'eau est décomposée en 2 radicaux  $HO^\circ$  et  $H^\circ$  chacun porteur d' $e^-$  non apparié.

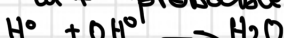


### b. Rôle du TLE:

1<sup>er</sup> cas: TLE élevé, DLI grande  
rencontre autre RL formés est ++

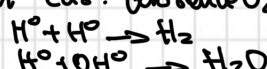


2<sup>nd</sup> cas: TLE faible: réaction de recombi est la + probable:

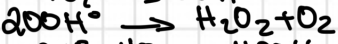
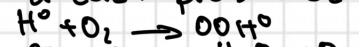


### c. Influence présence d'O<sub>2</sub>:

1<sup>er</sup> cas: absence O<sub>2</sub>



2<sup>nd</sup> cas: présence O<sub>2</sub>:



l'effet de l'O<sub>2</sub> sur la radiosensibilité et explique radiorésistance des tumeurs et tissus hypoxiq.

## d. Influence substances organiques:

formation d'oxydants puissants très toxiques: mort faire par:

> Destruction des lip mbo: trouble de perméabilité

> Atteinte des prot:

- altération enz: > inactivation et blocage du métabo et de l'ADN
- > désorganisat de la synth: prot et

( $\hookrightarrow$  désorganisat &).

## III. Lésions moléculaires:

### a. Effet direct:

> l'E du rayonnement est transférée directement à la mol ionisé ou excitée

> l'excédent d'E acquis par mol est perdu par:

- rayonnement de l'irradiance
- rupture de liaison chimiq

### c. Cibles des lésions radio-induites:

Toute mol bio et des cellules:

- > l'eau: 65-75% de organismes vivants.
- > ADN: fact central de la

## II Mécanismes biochimiques des lésions radio:

a. les syst enz: peuvent intervenir de genèse des lésions radio, directement ou indirectement par:

- désorganisat prot et ADN
- altérat mbo

### b. Ac désoxyribonucléique ADN:

- > Rôle capital: div & synth prot.
- > constituant essentiel de la chromatinne du noyau ( $\hookrightarrow$  mitose ou méiose)
- > présent ds mitoch  $\Rightarrow$  2 chaînes en db hélico
- > Unité structurelle: nucléotide fact d:
  - . un base (puriqu) - mol de désoxyribonucléotid
  - . mol d'ac phosphoriqu

### 2. Altération des bases:

Détruites ou modifiées;

hydrorylat ou avec:

- formation d'oxydants

( $\hookrightarrow$  incorporation bases inadéquates ( $\hookrightarrow$  désorganisat du hélico

## e. l'inactivation des RL:

- les syst enz & de réparat nucéiq st nombreux ( $> 80$ ), variés et très efficaces.

- ils seraient très susceptibles de s'adapter.

- la plupart des lésions seront complètement et parfaitement réparées.

### b. Effet indirect:

> Résultat de l'action des RL formés lors de la radiolyse de l'eau.

> Eau: principale cible initiale des RL: 65% de la masse corporelle; on a longtemps pensé que cet effet était prédom.

> actuellement, on priviliege effet direct.

L'ADN: cible sensible des RL.

#### 1. Les ruptures de chaînes ++

> Ruptures simples:  $E = 30-40 \text{ eV}$

sont réparables - parfois mortelle si les s'accumulent

#### 2. Ruptures de la db chaîne:

- cassure simultanée des 2 brins.

- mort & d'embolie par perte d'intégrité structurelle ADN létale irréparable

#### 3. Altération des sucre

Oxydés et hydrolysés avec libération des bases

#### 4. Modification structure ADN

> Portage (cross-links) par format L. (var)

> type de lésions ADN dépend de Da.



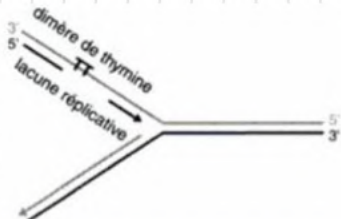
## 5. les syst. de réparation de l'ADN:

### > Excision-Synth.: 3-6h: 3 étapes

- reconnaissance de la lésion et son éliminat°.
- Synth fidèle de la portion manquante du brin d'ADN.
- Soudure de la portion synth au brin lésé.

### > Recombinaison post-replicative

Au cours de la phase de réplication où existent 2 paires de 2 brins d'ADN



→ Réparation des ruptures des chaînes.

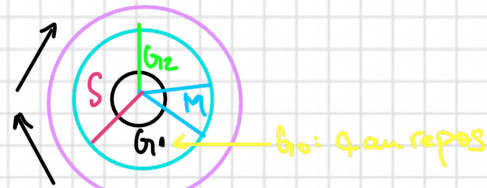
### Consequence kig des lésions de l'ADN:

- lésions kig : + altérat° de la structure d'1 ou + k
  - cassure unig sur 1k
  - db cassure sur n k
  - cassure de + k
  - changement nbt de k
  - Altération des gènes

## V. Dommages tissus:

Rappel: cycle 4

- 2 événements biologiques se déroulant entre 2 mitoses successives
- Mitose: div en 2 & filles. Chacune contenant totalité de l'ADN
- G<sub>1</sub>: 6h: suit mitose, & accumule nucléotides
- S: 3h → d'ADN db
- G<sub>2</sub>: 5h ± courte.

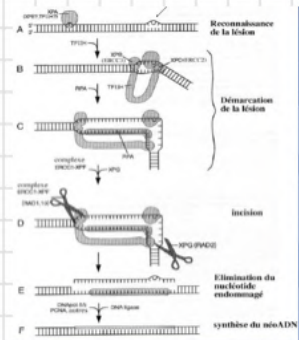


Mort tissus:

Lésions irréparables touchant structures tissus vitales: k

- Mort immédiate: doses 170 cGy → arrêt de la cellule et cytolysse
- Mort différé: doses moins élevées: 90 cGy: les cellules sont tuées immédiatement mais gardent des fonctions normales jusqu'à la mitose ou une génération ultérieure
- Mort indirecte: pour cellules différencieres (SN-foie...) lésées indirectement par atteinte des cellules interstitielles

Altérat° fonct tissus: → Dose + faibles: → fibres perméabilisées de cellules → fibres mobilités de la cellule → → synth ARN et prot → arrêt ou retard mitose  
→ retard croissance cellule



## Facteurs de radiosensibilité d'une cellule:

- radiosensibilité des cellules dépend des :  $\rightarrow$  condit° de radio-expo
- fact. liés à l'environnement  $\rightarrow$  fact. cell. proprement dits.

## VI. Radiosensibilité des cellules:

- **condit° radio-expo:** Dose en Gy: fractionnée ou non
- Délai de dose: ( $Gy \times h^{-1}$ ): notion de temps ++
- Nature du rayonnement et son E: EERA: Efficacité biologique relative: coeff. qui compare effets bio provoqués par 2 rayonnements  $\neq$
- **FC liés à l'environnement:** présence de radiosensibilisateurs: l'oxygène, la T° augmente l'effet O<sub>2</sub>, certaines substances: amidarazole, anesthésiques
- **FC cellulaires:**
  - Contenu en ADN: radiosensibilité varie selon Q d'ADN:
    - $\rightarrow$  ↑ pour G ane  $\rightarrow$  ↓ pour G à ane.
  - Équipement enz: + il est important, mieux la cellule pourra réaliser la restauration des lésions radio-induites.
  - Phase du cycle cellulaire: radiosensibilité est:
    - Max en phase M (mitose)
    - Min à la fin phase S.

## Nature des cellules:

→ radiosensibilité varie d'un type à l'autre:

T° embryon > organes hématopoïétiques > gonades > épiderme > muqueux intestinal  
 $\rightarrow$  TC > TM > TN

## Radiopathologie

À l'échelle tissulaire, les TI ont des effets très différents:

> précoce: déterministes, aigus, à court terme, jours/semaines, forte doses, seuil, relation dose/effet, obligatoires, réversible

> tardif: stochastique, chronique, à long terme, années, faibles doses, pas de seuil, pas de relation, aléatoires.

### 1. Effets précoce ou déterministes:

On distingue :

#### Irradiation

Globale

T° sensibles

Prognostic vital  
(4-4,5 Gy)

Partielle

peu-T° sensibles

Prognostic fonctionnel

T critique est la moelle osseuse  
morte chez 50% des sujets pour dose letale D<sub>50</sub> (D<sub>L</sub>) de 4 à 4,5 Gy en une seule fois

$\rightarrow$  évolut° stéréotypée en 4 phases p.  
p. prodromique p. de latence période de silencieuse: 5-14 jrs. p. critiq: signes cliniques et radiologiques. Mise en jeu du pronostic vital.

Irradiation globale: Dose < 0,2-0,3 Gy: aucun effet  
D > 1 Gy, Ed de radio-exposition aiguë:

sy

sgp

sgp

mois